

Fluidi REALI  $\vec{F}_t \neq 0$  attriti interni

(8)

Teorema di Bernoulli non è valido, poiché non include l'energia dissipata per attriti (ossia il lavoro delle forze di attrito) -

Sia  $E_A$  = en. dissipata per attriti per unità di volume

Potremmo scrivere:

$$\frac{1}{2} \rho v_1^2 + \rho g h_1 + p_1 = \frac{1}{2} \rho v_2^2 + \rho g h_2 + p_2 + E_A$$

Per sostenere un flusso con portata ~~non~~ ( $\phi \leq S_0$ ) non nulla ~~in un condotto~~ e orizzontale costante ( $v = \text{cost}$ ) in un condotto orizzontale: ~~sarà dove avverrà~~

$$\phi_1 = \phi_2 + E_A \Rightarrow \phi_1 - \phi_2 = E_A$$

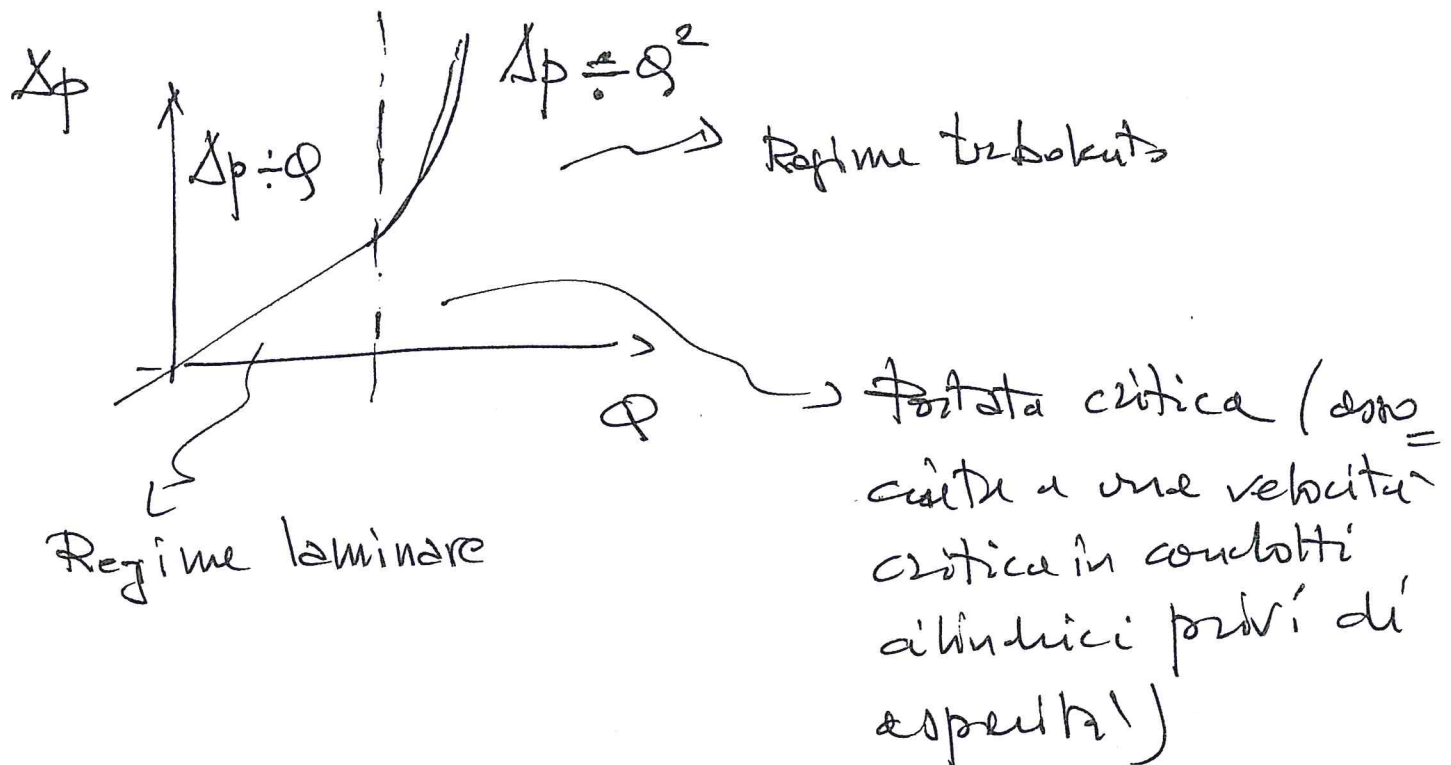
Per far sussire il flusso deve essere mantenuta una differenza di pressione ai capi del condotto.

Se  $\Delta p = 0 \Rightarrow Q = 0$  in un fluido reale (9)

Per  $\Delta p \neq 0$ , si trova una relazione empirica che collega  $\Delta p$  alla portata

$$\Delta p = R Q$$

$R$  = resistenza idraulica



Laminare : scorrimenti dei domini di fluido su uno degli altri

Turbolento : vortici interni

— Lavoro per sostenere un flusso e portata della pompa idraulica —

In un fluido reale serve lavoro esterno ( $\Delta p$ ) per sostenere un flusso.

Lavoro del fluido:  $dL = \Delta p \cdot dV$

Potenza:  $W = \frac{dL}{dt} = \Delta p \cdot \frac{dV}{dt} = \Delta p \cdot Q$

In regime turbolento la potenza cresce di più che in regime laminare, a parità di portata

Esempio: Lavoro del cuore

$$Q = 5 \text{ l/min} = 80 \text{ cm}^3/\text{s} = 80 \times 10^{-6} \text{ m}^3/\text{s}$$

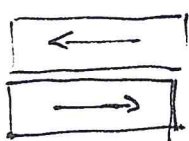
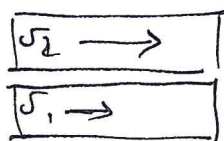
$$\Delta p = 100 \text{ mmHg} = \frac{100 \text{ mmHg}}{760 \text{ mmHg}} \cdot 1.013 \times 10^5 \text{ Pa}$$

$$W = 80 \times 10^{-6} \text{ m}^3/\text{s} \cdot \frac{100}{760} \times 1.013 \times 10^5 \text{ Pa} \approx \underline{\underline{1 \text{ W}}}$$

— o —

Per meglio definire  $R$ , e le secessione <sup>tra</sup> regime turbolento e laminare occorre definire le proprietà (empiriche) degli attriti interni

In condizioni di scorrimento tra due elementi di fluido compare una forza di attrito tangenziale, detto di **ATTRITO INTERNO**, con verso contrario a quello delle velocità relative.



Forze di attrito tra gli elementi uguali e opposte  
~~forze esterne~~

La folta sullo stato più veloce è ritardante (decelerante) mentre in quello più lento è accelerante (determina fermoamento) —

L'attrito è descritto empiricamente dalle leggi:

$$dF_t = \gamma dS \frac{dv}{dx}$$

$dS$  = superficie di contatto

$\frac{dv}{dx}$  = ~~variazione della~~ variazione della velocità nella direzione ortogonale alla linea di contatto  
e una dist. non una direzione

$\gamma$  = viscosità del fluido

$\gamma$  è una proprietà indip. dalla

geometria (che è contenuta in  $dS$  e  $\frac{dv}{dx}$ )

$$F \quad ds^{-2} \quad du \quad dv^{-1}$$

$$[\gamma] = [M L T^{-2} L^{-2} L^{-1} T] = M L^{-1} T^{-1}$$

Nel SI  $1 \text{ kg s}^{-1} \text{ m}^{-1}$  poiché  $1 \text{ Pa s} = 10 \text{ poise}$

## Viscosità tipiche

(2)

acqua	$\eta \sim 10^{-2}$ poise	(1 centipoise)
sangue	$\eta \sim 0.02$ poise	← interesse fisiologico
oli lubrif.	$\eta \sim 2$ poise	
vetro, pelle	$\eta \sim 10^6$ poise	
gas	$\eta \sim 10^{-4}$ poise	

Lo scorrimento avviene all'interno del fluido. Alle pareti dei condotti non c'è scorrimento, ma vi sono uno stretto limite, di pochi strati molecolari col quale scorrono gli strati interni. → Il moto di un contenitore in estensione, ad esempio, determina il moto di trascinamento del fluido in esso contenuto

→ ~~es~~

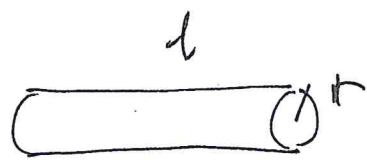
## Fluidi IDEALI:

- Fluidi privi di attrito interno  $\eta = 0$
- Inviscidibili  $f = \text{cost}$
- × Poiché  $\eta = 0$ , non ci sono forze tangenziali ma anche in moto complesso solo forze normali tra gli elementi di fluido
- × Un fluido ideale in moto ha dunque solo comp. normali, come è il caso per tutti i fluidi (ideali e reali) in condizioni statiche che si rivelano infatti:  $\frac{d\sigma}{du} = 0 \Rightarrow dF = 0$

Eq. di Poiseuille (calcolo dimensionale)

(13)

Condotto orizzontale di lunghezza  $l$  e raggio  $r$  -



$$\Delta p \div L_{\text{attivo}} \div \langle v \rangle l$$

ove  $\langle v \rangle$  è la velocità media di scorrimento del fluido (effetto viscoso  $\div \nu$ )

Tutte ipotizzate dip. da  $\eta, f, r$  :

$$\Delta p \div \eta^a r^b f^c \langle v \rangle^d$$

$$[\Delta p] = M L^{-1} T^{-2} = M^{a-1} L^{-a} T^b M^{c-3} L^{-3} T^{-1}$$

$$\Rightarrow a = 1 \quad \text{per la dip de } T$$

$$c = 0 \quad M \text{ è ok con } a = 1$$

$$b = -2 \quad \text{per sistema } L$$

$$\Delta p \div \eta r^{-2} \langle v \rangle^d$$

$$\Delta p \div \frac{\eta l}{\pi r^4} \pi r^2 \langle v \rangle$$

$$\Delta p \div \frac{\eta l}{\pi r^4} \quad Q$$

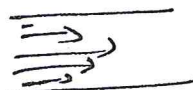
$$\text{Calcolo esatto: } R = \frac{\eta l}{8 \pi r^4}$$

Calcolo esatto:

$$\text{Portata } dQ = dS \cdot v$$

$$Q = \int_0^a dQ = \int_0^a 2\pi r dr \circled{v(r)}$$

profilo di velocità



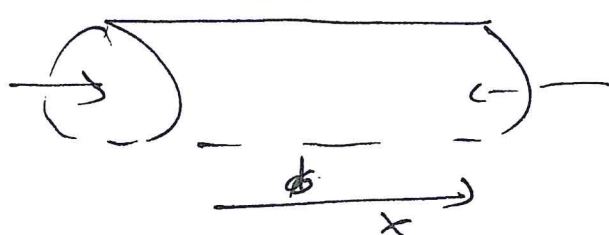
$a$  = raggio del condotto

Per trovare il profilo di velocità  $v(r)$ , si

isola tubo di flusso - In condizioni

$\Delta l$

stazionarie  $F_{p \text{ tot}}^{\text{tot}}$ ,



sono bilanciate delle forze di attrito tang.

$$F_t + F_p^{\text{tot}} = 0 \Rightarrow F_t = -F_p^{\text{tot}} \quad (*)$$

$$1) F_p^{\text{tot}} = -\pi r^2 \frac{dp}{dx} \Delta l \quad \frac{dp}{dx} < 0 \Rightarrow \Delta p > 0$$

$$2) F_t = \eta (2\pi r \Delta l) \frac{dv}{dr}$$

Sostituendo in (\*) e separando le variabili

$$\frac{1}{2\eta} \frac{dp}{dx} r dr = dv \Rightarrow v = \frac{1}{4\eta} \left| \frac{dp}{dx} \right| r^2 + k$$

La costante di integrazione si trova ponendo  $v=0$  per  $r=a$  (parete del condotto)

$$v = \frac{1}{4\eta} \left| \frac{dp}{dx} \right| (a^2 - r^2)$$

(15)

Integrale della portata:

$$\begin{aligned} Q &= \frac{\pi}{2\eta} \left| \frac{dp}{dx} \right| \int_0^a (a^2 - r^2) r dr = \\ &\rightarrow \frac{\pi}{2\eta} \left| \frac{dp}{dx} \right| \left[ \frac{a^2 r^2}{2} - \frac{r^4}{4} \right]_0^a = \\ &= \frac{\pi}{8\eta} a^4 \left| \frac{dp}{dx} \right| \end{aligned}$$

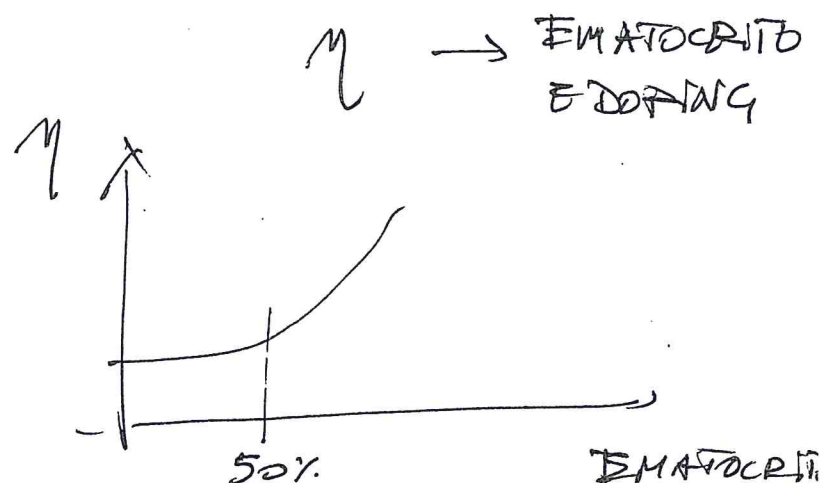
Per un condotto di lunghezza finita  $\ell$ :

$$d\phi \rightarrow \frac{8}{\pi} \frac{1}{a^4} dx \cdot Q$$

$$\Delta p \rightarrow \frac{8}{\pi} \frac{\eta d}{a^4} Q$$

$\downarrow$

$\hookrightarrow$  dip. notevoli  $1/a^4 \rightarrow$  Adatt. cardiovasc.



## Regime TURBOLENTO

C16

In condotti circolari la legge di Poiseuille cessa di valere per  $\sigma > \sigma_c$  oltre la quel velocità critica si ha regime turbolento.

$$\sigma_c = \frac{R}{\rho r} \quad R \approx 1200$$

Dipendenza elevabile da misure dimensionali

Per il sistema cardio circolatorio 1) raggi

d'aorta è max  $\rightarrow \sigma_c$  minima

2) velocità

e max nell'aorta  $\rightarrow$  sistema complesso ~~composto~~ con significato

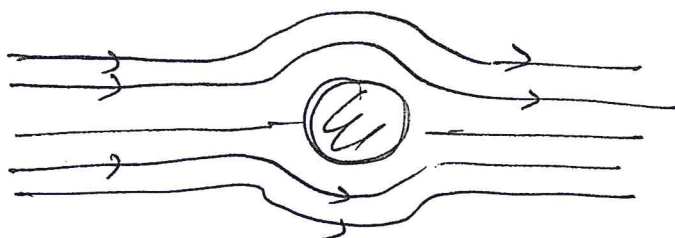
$\rightarrow$  controllo di  $\sigma_c$  in aorta: se OK, ok dappertutto.

$$\sigma_c = \frac{1200 \times 0.025 \text{ g cm}^{-1} \text{s}^{-1}}{1 \text{ g/cm}^3 \times 1 \text{ cm}} = 60 \text{ cm/s}$$

$\sigma_c \approx 2 \sigma_s \rightarrow$  Regime laminare, ma non di molto.

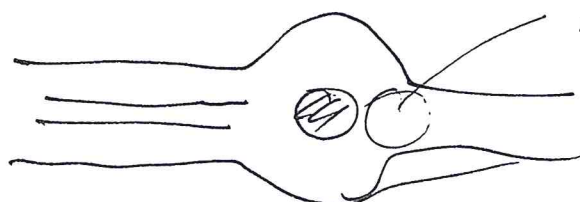
## Resistenza del moto

(17)



no  $\Delta p$  - fiume  
puro

- Ed ideal

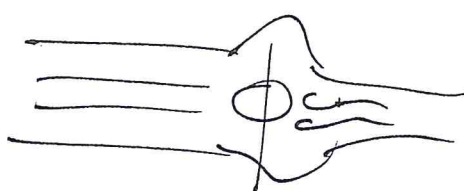


$$\Delta p = \frac{1}{2} \rho v^2$$

per linee  
di flusso

Moto del caduta  
equiv. a sconciato  
del fluido attorno al  
corpo  $\rightarrow$  Fenomeno  
descritto dalla stessa forza  
 $F$

- Reale  $\rightarrow$  rotta



S

$$F = \frac{1}{2} \rho v^2 S C$$

$$C \approx \frac{24}{R}$$

per sfera:  $F = 6\pi\eta R v$   
(Dall'oss. che  $v = \text{cost}$  per  $r \rightarrow \infty$   
si deduce  $F \propto r \Rightarrow$  dip. prop. di  $R$  per  
esempio dimostrabile)

$\rightarrow$  sedimentazione eccentrif.

$$F_{\text{peso}} + F_{\text{Arch}} + F_{\text{attrito}} \rightarrow$$

$$\underline{v = \text{cost}}$$

— Moto turbolento

$\Sigma_c$  dipende da  $\gamma, \rho, R$

Analisi dimensionale delle dip.

$$[\Sigma_c] = [\gamma^a \rho^b R^c]$$

$$LT^{-1} = M^\alpha L^{-\alpha} T^{-\alpha} M^b L^{-3b} \cancel{R}^c$$

$$T : \alpha = 1$$

$$M : \alpha = -b \Rightarrow b = -1$$

$$L : c = 1 + \alpha + 3b = -1$$

$$\Sigma_c \div \frac{\gamma}{\rho R}$$

La costante di proporzionalità è ricavata empiricamente e vale, per condotti rettilinei privi di aspirazione,  ~~$R=1200$~~

$$\Sigma_c = R \div \frac{\gamma}{\rho R}$$

Es.  $\Sigma_c$  in esercizio

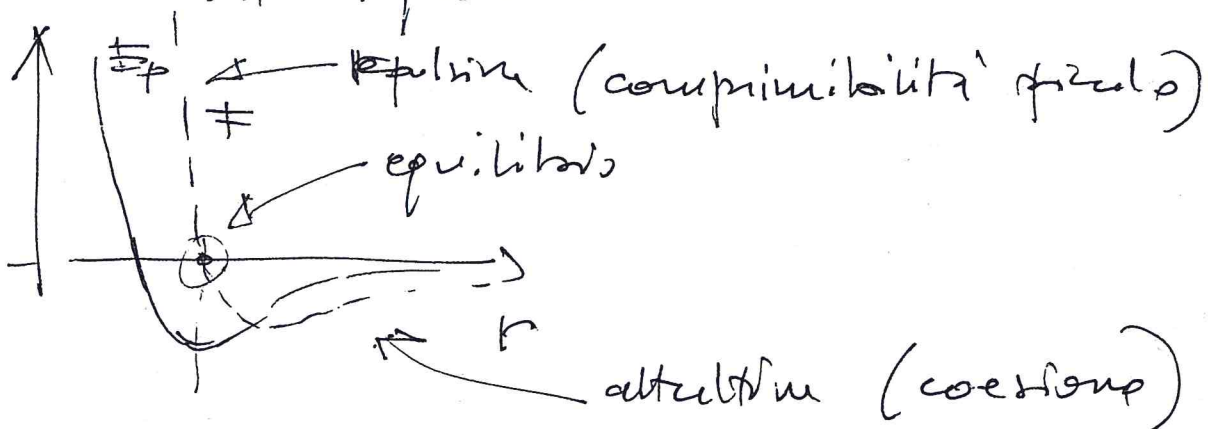
1

## Tensione Superficiale

- Forte di coazione tra le molecole del liquido (attrattive) si manifesta alla superficie libera richiamando le molecole nel liquido.



→ Definiscono il "volume proprio" del liquido



- L'aumento delle superficie libere di un liquido non avviene senza immozione di lavoro. → tensione superficiale definita per via empirica:

$$\Delta W = \approx dA \quad [\tau] = \left[ \frac{\text{Lavoro}}{\text{Sup.}} \right] \\ \rightarrow \left[ \text{Torsa/Lung} \right]$$

→ i liquidi si dispongono in modo da minimizzare la sup. libera (a parità di volume) → gocce sfuse

(2)

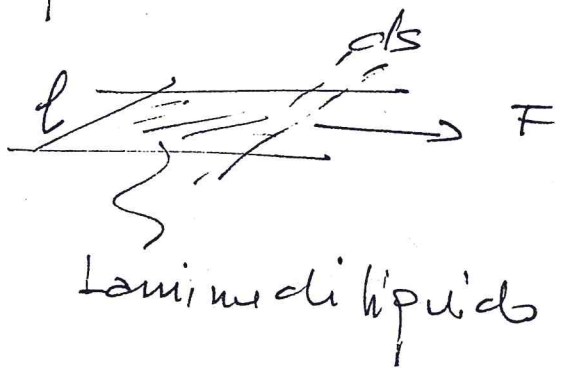
Definizione di  $\gamma$  analogo, come  
forza per unità lineare di lunghezza.

$\rightarrow$  taglio nella superficie di vugh. ~~di~~

$$dF = \gamma ds \quad \leftarrow \text{def. analogo}$$

della tensione del  
filo

Equividente:



$$dW = l \cdot ds \cdot \gamma$$

$$= ds \cdot F$$

$$\Rightarrow \frac{F = \gamma \cdot l}{dW = \gamma dA}$$

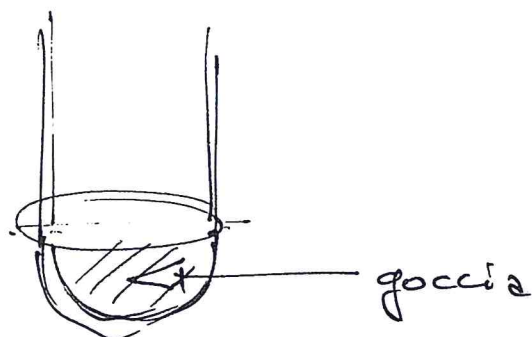
Questa tecnica consente le misure di  $\gamma$

- Valori di  $\gamma$  caratteristici  $10^{-3} \text{ N/m}$   
dipendono anche del liquido esterno:

aria / acqua	$\gamma_{\text{H}_2\text{O}}$ differente nei
olio / acqua	due casi, poiché diff. forte di aderenza al metto vicino

(3)

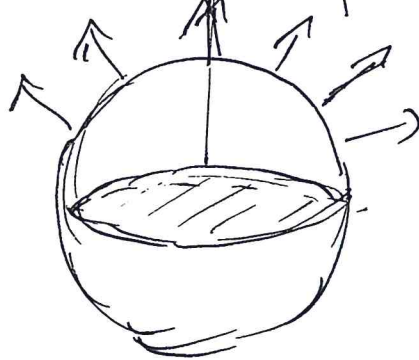
Misura di  $\gamma$ : stalagmometro.



$$M_f = 2\pi r \gamma$$

$\rightarrow$  goccia si stacca.

— Formula di Laplace (valide anche per membrane elastiche) — Relazione tra  $\gamma$  e  $\sigma$  per una bolle sferica



$$\sigma \text{ insiste su } \pi^2 R^2$$

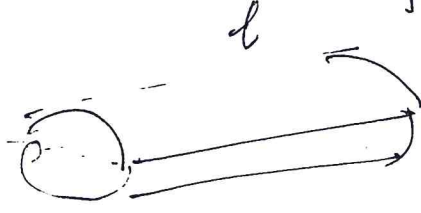
$$F_p = \pi R^2 \cdot \sigma$$

$$F_T = \gamma 2\pi R$$

$$\text{Equilibrio bolle: } \left| \begin{array}{l} F_p = F_T \\ \sigma = \frac{\gamma}{R} \end{array} \right|$$

\* Bolle di raffig. minore chiudono  $\gamma$  minor per sostenere lo stesso  $\Delta p$  - cose inconfondibili

\* Vale anche per condotti circolari

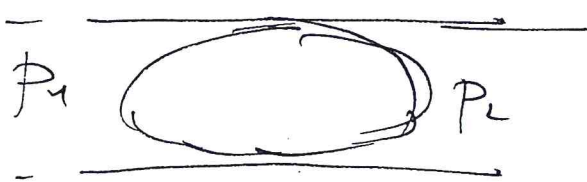


$$\frac{\sigma k 2R}{\sigma} = \gamma \cancel{k}$$

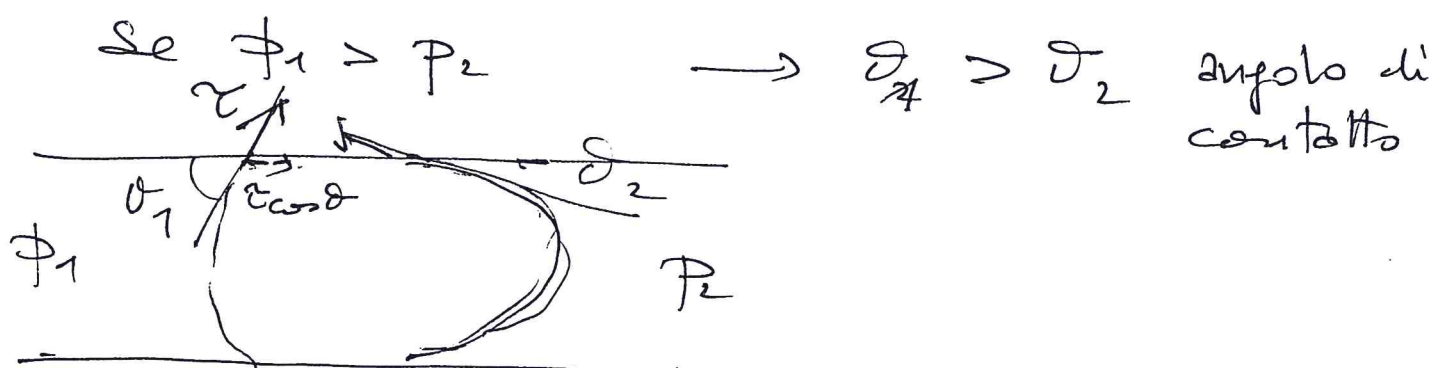
$$\left| \sigma = \frac{\gamma}{2R} \right| \quad \begin{array}{l} \text{coeff. diff.} \\ \text{ne siene dip.} \end{array}$$

(4)

## Embolia gassosa



Equilibrio  $\phi_1 = \phi_2$  e stesso segno di curvatura delle bolle delle due parti



$$\begin{aligned} \text{Pressioni} \Rightarrow \quad \phi_1' &= \phi_1 + \frac{\pi r}{\pi r^2} = \\ &= \phi_1 + \frac{2 \cos \delta_1}{r} \cancel{\pi r^2} \\ &= \phi_1 + \frac{2 \pi}{r} \cdot \cos \delta_1 \\ \phi_2' &= \phi_2 + \frac{2 \pi}{r} \cos \delta_2 \end{aligned}$$

$$\Delta p' = \Delta p + \frac{2 \pi}{r} (\cos \delta_1 - \cos \delta_2) < \Delta p$$

La pressione ai capi è minore di  $\Delta p$  e l'embolia ostacola il flusso.  
Può sbloccarlo, se  $\Delta p' \rightarrow 0$